

# مخابرات پنهان ترکیبی با استفاده از روش طیف گستردۀ و اختلال کمک‌کننده

مرتضی شفیعی نیستانک و ایمان کاظمی

مخابراتی، عموماً بر اساس رمزگاری<sup>۱</sup> انجام می‌شود [۱]. همچنین با دیدگاه پنهان‌سازی داده، ایده پنهان‌نگاری<sup>۲</sup> توسعه یافت که بر اساس آن می‌توان بخشی از پیام را که حاوی اطلاعات محظمنه است، درون پیام دیگری که به آن حامل<sup>۳</sup> یا پوشش<sup>۴</sup> گفته می‌شود، پنهان نمود [۲]. در بخش سیگنال سیستم‌های مخابراتی، انواع روش طیف گستردۀ<sup>۵</sup> (SS) برای برقراری امنیت ارائه شده‌اند [۳] و [۴]. روش‌هایی نظری شکل‌دهی پرتو<sup>۶</sup>، ارسال رگباری<sup>۷</sup> [۶] و مخابرات پنهان<sup>۸</sup> (CC) [۷] به کمک نویز مصنوعی<sup>۹</sup> (AN) [۸] نیز امنیت مخابره در بخش انتشار سیستم مخابراتی را تأمین می‌کنند. همه این روش‌ها برای تأمین یکی از دو هدف احتمال آشکارسازی پایین<sup>۱۰</sup> (LPD) یا احتمال شنود پایین<sup>۱۱</sup> (LPI) برای سیگنال مخابراتی طراحی و پیشنهاد شده‌اند [۴]. در روش‌های دارای احتمال دارای احتمال شنود پایین (LPI)، نامفهوم کردن پیام ارسالی مورد توجه هستند.

مخابرات پنهان در واقع، هنر انتقال داده بدون شناسایی شدن توسط کاربر غیرمجاز است. ایده مخابرات پنهان برای ایجاد احتمال آشکارسازی پایین (LPD)، اولین بار توسط گوستاو سیمونز<sup>۱۲</sup> در سال ۱۹۸۴ با مثالی از «پیام مخفی زندانی‌ها» ارائه شد [۹]. در مدل سیمونز دو زندانی آليس و باب<sup>۱۳</sup> در سلول‌های جداگانه زندانی شده و برای طرح ریزی نقشه فرار، نیاز به ارتباط با یکدیگر دارند. پیام‌های آنها همواره تحت نظر نگهبان (ویلی)<sup>۱۴</sup> منتقل می‌شود و اگر هر گونه نقشه توطئه‌آمیزی شناسایی شود، این دو زندانی به انفرادی برده می‌شوند. بنابراین آليس و باب برای موقیت در فرار باید راهکاری برای مبادله پیام‌ها به صورت مخفی بیانند [۱۰]. در ادبیات مخابرات پنهان، مخفی کردن سیگنال در نویز بسیار قابل توجه بوده و در سال‌های اخیر، نظر بسیاری از پژوهشگران را به خود جلب کرده است [۱۱] تا [۱۳].

1. Cryptography
2. Steganography
3. Carrier
4. Cover
5. Spread Spectrum
6. Beam Forming
7. Burst
8. Covert Communications
9. Artificial Noise
10. Low Probability of Detection
11. Low Probability of Interception
12. Gustavus Simmons
13. Alice and Bob
14. Willie

چکیده: امروزه مخابره پنهان با هدف برقراری ارتباط با احتمال آشکارسازی پایین (LPD) به سرعت در مخابرات تجاری و نظامی در حال توسعه است. یکی از روش‌های رایج برای این منظور، استفاده از نویز مصنوعی به منظور گمراحت‌سازی گیرنده غیرمجاز و بالا بردن حاشیه اطمینان برای ارسال و دریافت داده است. از سوی دیگر ایجاد نویز مصنوعی در طیف فرکانسی یا بازه زمانی وسیع، چالشی مهم برای فرستنده و گیرنده مجاز خواهد بود. همچنین برقراری هزمانی دقیق برای قطع و وصل نویز مصنوعی به گونه‌ای که به همراه سیگنال ارسالی بتواند نویز محیط را برای گیرنده غیرمجاز شبیه‌سازی کند، بسیار دشوار است. در این مقاله با ایده استفاده از روش طیف گستردۀ دنباله مستقیم (DS-SS) به همراه ایجاد اختلال خودی به عنوان نویز مصنوعی، روشنی ترکیبی برای برقراری مخابره پنهان با رفع مشکلات فوق و با کیفیت و طرفیت مخابره مناسب پیشنهاد شده است. در این صورت گسترش طیف سیگنال ارسالی، ایجاد نویز مصنوعی با سطح توان و هزینه پایین و به صورت دائم را امکان‌پذیر کرده و نیازی به برقراری هزمانی قطع و وصل بین نویز مصنوعی و سیگنال ارسالی نیز نخواهد بود. نتایج شبیه‌سازی و تحلیل عددی نشان می‌دهند در شرایط  $JSR = -5 \text{ dB}$ ، استفاده از نویز مصنوعی بر اساس اختلال باند جزئی، ضمن ایجاد حاشیه اطمینان  $1/8 \text{ dB}$  برای فریب‌دادن شنودگر، کیفیت قابل قبول مخابره را بین فرستنده و گیرنده فراهم نموده و برای  $E_b/N > 8.3 \text{ dB}$  احتمال خطای مناسب  $10^{-3}$  را در شرایط شبیه‌سازی تیجه خواهد داد. بررسی برای سایر انواع اختلال نشان می‌دهد که غیر از اختلال چند‌آهنگ، امکان استفاده از انواع نویز مصنوعی برای روش پیشنهادی وجود دارد. به عنوان مثال اختلال تک‌آهنگ نیز با ایجاد  $2.6 \text{ dB}$  حاشیه اطمینان، احتمال خطای  $10^{-3}$  را برای  $E_b/N > 10.9 \text{ dB}$  بین فرستنده و گیرنده ایجاد خواهد کرد.

**کلیدواژه:** اختلال، دنباله مستقیم (DS)، طیف گستردۀ، مخابرات پنهان، نویز مصنوعی.

## ۱- مقدمه

امنیت در شبکه‌های ارتباطی مدرن مسئله بسیار مهمی است. از گذشته تاکنون، دیدگاه‌های گوناگونی برای برقراری امنیت ارتباطات در بخش‌های مختلف سیستم‌های مخابراتی اعم از بخش داده، سیگنال و انتشار مطرح شده است. ایجاد امنیت و مخفی‌سازی محتوا در بخش داده شبکه‌های

این مقاله در تاریخ ۲۵ شهریور ماه ۱۴۰۲ دریافت و در تاریخ ۲۳ آذر ماه ۱۴۰۲ بازنگری شد.  
مرتضی شفیعی نیستانک (نویسنده مسئول)، دانشکده مهندسی برق و کامپیوتر، دانشگاه صنعتی مالک اشتر، تهران، ایران، (email: mshafiee@mut.ac.ir).  
ایمان کاظمی، دانشکده مهندسی برق و کامپیوتر، دانشگاه صنعتی مالک اشتر، تهران، (email: Iman\_kazemi@mut.ac.ir).

و روش پیشنهادی مسئله برای مخابر پنهان را به صورت تحلیلی ارائه نموده و در بخش ۶ ضمن ارائه نتایج شبیه سازی به تحلیل و نتیجه گیری خواهیم پرداخت. نهایتاً مقاله با بخش ۷ به عنوان جمع بندی و ارائه پیشنهادهایی برای ادامه فعالیت خاتمه می یابد.

## ۲- فعالیت های مرتبط

روش های طیف گستردہ از اوایل قرن پیشتر در ارتباطات نظامی مورد توجه قرار گرفتند. مروری بر انواع روش های طیف گستردہ در [۳] و [۴] صورت گرفته است. در [۱۲] روشی مبتنی بر نهان نگاری بر اساس مدل نویز جمع شونده پیشنهاد شده که اطلاعات سیگنال را به نویز تبدیل کرده و تلاش می کند با مخفی کردن اطلاعات به صورت نویز ساختگی آمیخته با نویز<sup>۱۱</sup> AWGN کanal، امنیت داده ها را برقرار نموده و باعث مقاومت روش پیشنهادی در برابر استراق سمع شود. در [۱۳] آقای بش<sup>۱۲</sup> و همکاران با ارائه یک قانون حداقل ریشه مربوعات<sup>۱۳</sup> (SRL) برای کanal AWGN نشان دادند در استفاده از  $N$  کanal، حداکثر از مرتبه ( $O(\sqrt{N})$ ) بیت را می توان به طور قابل اعتماد و مخفیانه در حضور شنودگر (ویلی) به گیرنده اصلی (باب) منتقل کرد. در [۱۲] و [۱۳]، مدل کanal به طور خاص به کanal AWGN محدود شده و در روابط و تحلیل های به دست آمده، اثری از تداخلات محیط وجود اختلال به چشم نمی خورد.

در سال های اخیر برای بهبود کیفیت مخابرات پنهان و در نتیجه برقراری امنیت در مخابرات بی سیم، مطالعات فراوانی انجام شده که برخی از این مطالعات مربوط به عدم قطعیت نویز<sup>۱۴</sup> می شود [۱۵] و [۱۶]. عدم قطعیت نویز یک فرض عملی است که در آن اطلاعاتی از توان نویز در سمت شنودگر وجود ندارد یا بسیار محدود است. در [۱۵] تا [۱۹] به بررسی عملکرد مخابرات پنهان در کانال های غیر گوسی و تأثیر مشترک عدم قطعیت کanal و عدم قطعیت نویز بر روی احتمال خطای تشخیص سیگنال در سمت شنودگر و گیرنده در کانال هایی نظیر کanal محسوس دگی رایلی و ناکاکامی پرداخته شده و راه حل هایی برای مسائل فوق ارائه گردیده است. مراجع [۲۰] تا [۲۳] نیز از سیستم های چند آنتنی برای بهبود کیفیت مخابرات پنهان استفاده کرده اند. مراجع [۲۰] و [۲۱] نشان داده اند که افزایش تعداد آنتن در فرستنده و گیرنده در بهبود عملکرد مخابرات پنهان نقش مؤثری ایفا می کند. همچنین در [۲۲] و [۲۳] از اختلال شناختی<sup>۱۵</sup> به منظور فریب و گمراه سازی شنودگر پیشنهاد داده است. در پیشنهادهای این مراجع، طرفين ارتباط از ارسال اختلال برای فریب شنودگر بهره می برند. مرجع [۲۴] نیز یک روش مخابر پنهان را با کمک مختلط ساز شناختی<sup>۱۶</sup> به منظور فریب و گمراه سازی شنودگر پیشنهاد داده است. در روش پیشنهاد شده، مختلط ساز شناختی از انتقال پیام فرستنده (آلیس) آغاز است و بر اساس نتایج سنجش خود، تعیین می کند که آیا سیگنال اختلال را ارسال کند یا خیر. در این کار زمانی اختلال فعال می شود که آلیس داده ای ارسال نمی کند و زمانی که آلیس در حال ارسال پیام است، اختلال خاموش می شود. همچنین نشان داده شده که عملکرد مختلط ساز شناختی، افزایش نرخ پنهان<sup>۱۶</sup> را نسبت به مختلط ساز غیر آگاه<sup>۱۷</sup> به ارمغان آورده و در

در این مقاله با استفاده توأم از روش طیف گستردہ دنباله مستقیم (DS-SS)<sup>۱۸</sup> به همراه ایجاد نویز مصنوعی (AN) از طریق روش های مختلف مختلسازی<sup>۱۹</sup> نظیر مختلسازی تک آهنگ<sup>۲۰</sup> و چند آهنگ<sup>۲۱</sup>، مختلف سازی جاروب خطی<sup>۲۲</sup>، مختلف سازی نویز باند جزئی<sup>۲۳</sup> (PBNJ) و مختلف سازی مدولاسیون فرکانسی<sup>۲۴</sup> (FMJ)، روشی برای برقراری مخابر پنهان بین آلیس و باب ارائه شده است. نویز مصنوعی در واقع سیگنال فریبی است که توسط فرستنده خودی ایجاد و منتشر می گردد و در کارکرد شنودگر محیطی ایجاد تداخل نمی کند؛ بلکه در صدد جلب توجه شنودگر به منظور فریب آن است [۱۴].

نتایج شبیه سازی و تحلیل ها نشان می دهند که بازیابی سیگنال اصلی توسط گیرنده (باب) با نرخ خطای بیت (BER) قابل قبول  $10^{-3}$  امکان پذیر است؛ در حالی که شنودگر (ویلی) امکان تشخیص مخابر را نخواهد داشت. با توجه به خواص روش طیف گستردہ (DS-SS)، روش پیشنهادی ضمن برقراری مخابر پنهان، مزایایی نظیر ارسال سیگنال با سطح توان پایین، دشوار بودن آشکار سازی سیگنال برای گیرنده غیر مجاز، کاهش احتمال نفوذ به شبکه مخابراتی، توأم بودن خواص (LPD) و (LPI) برای مخابر و همچنین مقاوم شدن سیگنال در مقابل آثار مخرب ناشی از تداخل<sup>۲۵</sup> سایر کاربران، محسوس دگی چند مسیری<sup>۲۶</sup> و امکان برقراری برقراری دسترسی چندگانه بر اساس<sup>۲۷</sup> CDMA را به دنبال خواهد داشت. به بیان دیگر در این مقاله، نوآوری های زیر به منظور بهبود کیفیت و طرفیت مخابر پنهان در مقایسه با سایر فعالیت ها پیشنهاد شده است:

- در مخابر پنهان به کمک نویز مصنوعی باید سطح نویز شنودگر در زمان ارسال فرستنده و عدم ارسال، ثابت بماند تا شنودگر متوجه تبادل اطلاعات فرستنده و گیرنده نشود. این امر مستلزم برقراری هم زمانی دقیق بین نویز مصنوعی و فرستنده است. در این مقاله با پیشنهاد استفاده از طیف گستردہ برای ارسال و دریافت سیگنال، چالش نیاز به هم زمانی قطع و وصل نویز مصنوعی از بین رفته و سیگنال فرستنده به صورت پیوسته قابل ارسال است. با رفع این چالش ضمن افزایش طرفیت ارسال می توان محل فیزیکی نویز مصنوعی را از فرستنده جدا نمود و پنهان مانی مخابر را افزایش داد. یکی از چالش های استفاده از نویز مصنوعی برای مخابر پنهان، نیاز به ارسال نویز پرتوان در طیف فرکانسی یا بازه زمانی وسیع است. با پیشنهاد استفاده ترکیبی از نویز مصنوعی و روش طیف گستردہ، امکان فریب شنودگر با نویز مصنوعی توان پایین فراهم شده و پیاده سازی روش با طرفیت ارسال دائمی مقرن به صرفه خواهد شد.
- بخش ۲ به مرور فعالیت های مرتبط گذشته پرداخته است. بخش ۳ اصول روش طیف گستردہ دنباله مستقیم (DS-SS) را مرور می کند. در بخش ۴ به معروف انواع مدل های رایج ایجاد اختلال پرداخته می شود. در مقاله از این مدل ها برای ایجاد نویز مصنوعی محیطی به منظور فریب شنودگر و پنهان سازی مخابر از دید وی استفاده شده است. بخش ۵ مدل

1. Direct Sequence-Spread Spectrum
2. Jamming
3. Single Tone Jamming
4. Multi Tone Jamming
5. Linear Sweeping Jamming
6. Partial-Band Noise Jamming
7. Frequency-Modulated Jamming
8. Interference
9. Multipath Fading
10. Code Division Multiple Access

11. Additive White Gaussian Noise

12. Bash

13. Square Root Law

14. Noise Uncertainty

15. Cognitive Jammer

16. Covert Rate

17. Non-Informed Jammer

جدول ۱: خلاصه فعالیت‌های انجامشده در زمینه مخابرات پنهان.

ردیف	مرجع	سال انتشار	توضیح روش	نکات
۱	[۳] و [۴]	۱۹۹۴ و ۱۹۹۵	مروری بر انواع روش‌های طیف گستردۀ روش پنهان‌نگاری با استفاده از کدهای بلوکی	+ به معنی روش‌ها و مبانی نظری پرداخته شده است. - محدودبودن الگوریتم به کانال AWGN - نداشتن حاشیه اطمینان در مخابره پنهان - عدم مقاومت روش در برابر تداخلات محیطی - محدودبودن الگوریتم به کانال AWGN - عدم مقاومت روش در برابر تداخلات محیطی - نداشتن حاشیه اطمینان در مخابره پنهان + محاسبه احتمال خطأ در کانال غیرگوسی - نداشتن حاشیه اطمینان در مخابره پنهان - نیاز به همانگی بین اختلال با فرستنده - هزینه بالای اختلال بهدلیل بالابودن سطح سیگنال + تصادفی بودن ارسال تداخل روی کانال شنودگر غیرمحاجز - نداشتن حاشیه اطمینان در مخابره پنهان - عدم مقایسه عملکرد و انرگذاری انواع نویز مصنوعی + برتری توان عملکردی اختلال چندآهنگ نسبت به تک آهنگ - تحت تأثیر قرارگرفتن مخابرات پنهان فرستنده-گیرنده تحت اختلال چندآهنگ + بهبود عملکرد مخابرات پنهان با افزایش تعداد آتن - عدم مقایسه عملکرد و انرگذاری انواع نویز مصنوعی - نداشتن حاشیه اطمینان در مخابره پنهان - نیاز به همانگی بین اختلال و فرستنده AWGN - محدودبودن الگوریتم به کانال AWGN - نداشتن حاشیه اطمینان در مخابره پنهان - عدم مقایسه عملکرد و انرگذاری انواع نویز مصنوعی - عدم مقایسه عملکرد در برابر انواع اختلال - تصادفی بودن ارسال تداخل
۲	[۱۲]	۲۰۱۱	خطی	-
۳	[۱۳]	۲۰۱۳	محاسبه ظرفیت ارسال به کمک قانون حداقل ریشه مربعات	-
۴	[۱۵] تا [۱۷] و ۲۰۱۷ و ۲۰۱۹	۲۰۱۷	بررسی اثر عدم قطعیت نویز در مخابرات پنهان	-
۵	[۱۸]	۲۰۲۰	استفاده از نویز مصنوعی برای مخابرات پنهان	-
۶	[۱۹]	۲۰۲۱	استفاده از اختلال چندآهنگ برای مخابرات پنهان در کانال محوشده	-
۷	[۲۰] تا [۲۳] و ۲۰۱۹ و ۲۰۲۱	۲۰۲۱	بهبود کیفیت مخابرات پنهان در حضور محوشده با استفاده از سیستم‌های چندآنتن	-
۸	[۲۴]	۲۰۲۰	استفاده از نویز مصنوعی شاختی برای مخابره پنهان	-
۹	[۱۶]	۲۰۲۱	حذف اختلال شنودگر مخابرات پنهان با استفاده از کدگذاری گوسی و مدولاسیون زمان-فرکانس	-

فراهمنمودن امکان مخابره پیوسته، استفاده از نویز مصنوعی توان پایین و عدم نیاز به همزمانی قطع و وصل پیشنهاد شده است.

### ۳- روش طیف گستردۀ دنباله مستقیم (DS-SS)

روش دنباله مستقیم (DS)، یکی از انواع روش‌های طیف گستردۀ برای برقراری ارتباط با احتمال آشکارسازی پایین (LPD) می‌باشد. در این روش مطابق شکل ۱، کد  $C(t)$  یک دنباله متناوب گسترش‌دهنده طیف شبه‌نویز<sup>۱</sup> (PN) است که سیگنال باند باریک حاوی اطلاعات با پهنای باند  $W_s$  را در پهنای باند  $W_c$  گستردۀ می‌کند؛ به طوری که معمولاً  $W_s \gg W_c$  می‌باشد. امروزه تنوع وسیعی از کدهای شبه‌نویز با خواص و قابلیت‌های متفاوت پیشنهاد شده که معروف‌ترین آنها کدهایی با طول حداقل<sup>۲</sup> می‌باشند<sup>[۲۹]</sup>. این کدها رایج‌ترین انواع کدهای PN هستند که با دوره تناوب  $N = 2^m - 1$  توسط شیفت رجیسترها خطی با  $m$  خانه ساخته می‌شوند. سیگنال طیف گستردۀ دنباله مستقیم از ضرب مستقیم کد شبه‌نویز در سیگنال مدوله شده دیجیتال (مثلاً سیگنال با مدولاسیون QPSK) ایجاد می‌شود. بنابراین فرستنده، حاصل ضرب سیگنال مدوله شده و کد گسترش طیف  $C(t)$  با دوره پالس چیپ<sup>۳</sup>  $T_c$  را روی کانال مخابراتی ارسال می‌نماید.

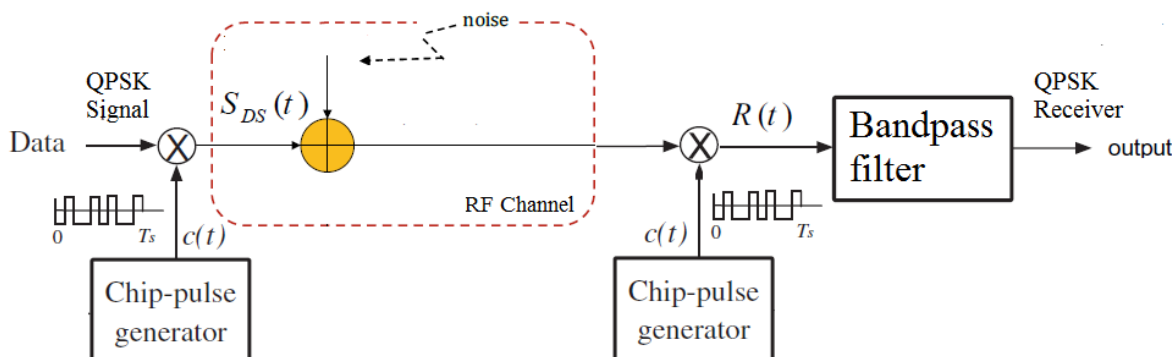
عین حال مانع تشخیص انتقال پیام توسط شنودگر (ویلی) می‌شود. در [۲۵] شنودگر به منظور ازبین‌بردن امکان ارتباط بین طرفین مخابره در کانال، اختلال ایجاد می‌کند. بر این اساس الگوریتم پیشنهادی برای گیرنده، اختلال شنودگر را تخمین زده و از سیگنال دریافتی فرستنده خودی حذف می‌کند. جدول ۱ خلاصه‌ای از فعالیت‌های انجامشده در زمینه مخابرات پنهان را به همراه برخی مزایا و معایب این روش‌ها نشان می‌دهد.

همان طور که اشاره شد در این مقاله بر ایجاد مخابرات پنهان با استفاده تأمی از روش طیف گستردۀ (DS-SS) و ارسال اختلال خودی به عنوان نویز مصنوعی تمرکز شده است. در این صورت بدون نیاز به برقراری همزمانی یا قطع ارتباط می‌توان بدون آگاهی شنودگر به مخابره دائمی اقدام نمود. از گذشته تاکنون تحقیقات گوناگونی بر عملکرد روش‌های طیف گستردۀ در حضور انواع تداخل و اختلال صورت گرفته که می‌توان از نتایج آنها برای تحلیل مدل پیشنهادی استفاده نمود [۲۶] تا [۲۸]. در مخابرات طیف گستردۀ، اختلال توسط فرستنده غیرخودی (مهاجم) انجام شده و هدف اصلی سیستم مخابراتی از به کار گیری روش طیف گستردۀ، مقابله با این اختلال است؛ اما در مخابرات پنهان از اختلال به عنوان نویز مصنوعی و توسط سیستم مخابرات خودی با هدف کمک به مخفی‌سازی ارسال و دریافت و ایجاد شرایط LPD برای سیگنال ارسالی استفاده می‌شود. با این دیدگاه، مراجع قبلی از نویز مصنوعی به تهیه‌ای و برای بالابردن سطح آستانه شنودگر استفاده کرده‌اند. در مقاله حاضر ایده استفاده ترکیبی از نویز مصنوعی و روش طیف گستردۀ به منظور

1. Pseudo Noise

2. Maximal Length Sequences

3. Chip Duration



شکل ۱: بلوک دیاگرام روش طیف گسترش دنباله مستقیم (DS-SS).

که در این رابطه نیز  $A$  دامنه اختلال و  $\phi_m$  فاز آن در  $M$  نقطه فرکانسی است

$$J(t) = \sum_{m=1}^M A e^{j(\pi f_m t + \phi_m)} \quad (4)$$

#### ۴-۳ اختلال جاروب خطی

این نوع مختلساز که با عنوان اختلال مدوله شده فرکانس خطی LFM نیز شناخته می شود، مطابق (۵) قابلیت برقراری ارتباط را در یک پهنهای باند فرکانسی مشخص، مسدود می سازد [۳۲]. در این رابطه نیز  $A$  دامنه،  $\phi$  فاز و  $k$  محدوده پهنهای باند مختلساز کننده را تعیین می کنند

$$J(t) = A e^{j(\pi f_i t + \pi k t^i + \phi)} \quad (5)$$

#### ۴-۴ اختلال نویز باند جزئی (PBNJ)

این نوع مختلساز، نویز گوسی سفید را در محدودهای حول فرکانس مختلساز، ایجاد کرده و تشخیص سیگنال اصلی را در این پهنهای باند دشوار می سازد. به نظر می رسد که عملکرد این نوع اختلال از لحاظ مختلساز یک محدوده فرکانسی مسطح، مشابه اختلال جاروب خطی باشد؛ اما چگالی طیف توان آن در محدوده فرکانسی اختلال از جنس نویز گوسی است و می تواند با بیشترین آنتروپویی، فضای فرکانسی مورد نظر را مختلساز [۳۲] و [۳۴]. در (۶)،  $A$  دامنه،  $\phi$  فاز و  $U(t)$  نویز گوسی با متوسط  $r_f$  و واریانسی که توسط توان مورد نیاز برای اختلال تعیین می گردد، هستند

$$J(t) = A U(t) e^{j(\pi f_i t + \phi)} \quad (6)$$

#### ۴-۵ اختلال مدولاسیون فرکانسی

مختلساز مدولاسیون فرکانسی نیز سیگنالی با چگالی طیف توان گوسی داشته و به عنوان تداخل باند وسیع در نظر گرفته می شود. همان طور که از نام مدولاسیون FM مشخص است در این نوع مختلساز، سیگنال پیام ( $t$ ) که در فرکانس سیگنال حامل اختلال حضور دارد [۳۲] و [۳۵] و به عبارت دیگر، فرکانس سیگنال این اختلال به صورت  $f(t) = f_j + k_{jm} \zeta(t)$  می باشد که در آن  $f_j$  فرکانس حامل و  $k_{jm}$  فاکتور حساسیت فرکانس نام دارند. مدل سیگنال اختلال مدولاسیون فرکانسی به صورت (۷) خواهد بود که در این رابطه،  $A$  دامنه سیگنال مختلساز است

$$J(t) = A e^{j\pi f_i t + j\pi k_{jm} \int_0^t \zeta(\tau) d\tau} \quad (7)$$

با درنظر گرفتن دوره پالس سمبول<sup>۱</sup> داده برابر  $T_s$ ، ضریب گسترش پهنهای باند طیف  $L$  را می توان به صورت (۱) نشان داد. مطابق شکل ۱ با توجه به اینکه سیگنال ارسالی ( $t$ ) در حوزه زمان حاصل ضرب دو سیگنال است، پهنهای باند گسترش یافته آن در حوزه فرکانس برابر مجموع پهنهای باند سیگنال مدوله شده (در اینجا سیگنال QPSK) و کد گسترش طیف  $C(t)$  خواهد بود و با توجه به اینکه معمولاً  $1 \ll L \ll T_s$ ، پهنهای باند طیف سیگنال گسترش یافته، مطابق (۲)، تقریباً  $L$  برابر پهنهای طیف سیگنال مدوله شده اصلی خواهد بود [۳۰]

$$L = \frac{T_s}{T_c} \quad (1)$$

$$W_C = (L+1)W_s \approx LW_s \quad (2)$$

همان طور که اشاره گردید در این مقاله با استفاده از دو خاصیت ضداختلال بودن<sup>۲</sup> (AJ) و احتمال آشکارسازی پایین سیگنال DS، شرایط مناسب برای مخابره پنهان بین فرستنده و گیرنده دور از تشخیص شنودگر فراهم شده است. همچنین به صورت تواأم با ایجاد نویز مصنوعی توسط اختلال، بدون اثرگذاری روی دریافت گیرنده، فعالیت مخابره برای شنودگر بیشتر مخفی خواهد شد.

#### ۴-۵ مدل های رایج سیگنال اختلال

همان طور که ذکر گردید می توان از انواع اختلال به عنوان نویز مصنوعی در مخابرات پنهان استفاده نمود. امروزه روش های متنوعی برای ایجاد اختلال با مشخصات مختلف در محیط های مخابراتی و نظامی وجود دارند که کاربردی ترین آنها در ادامه آمده اند [۳۱].

#### ۴-۱ اختلال تک آهنگ

مطابق (۳)، مختلساز تک آهنگ ارتباط و آشکارسازی سیگنال را در یک نقطه فرکانسی خاص مثل  $r_f$  مسدود می سازد [۳۲]. در (۳)،  $A$  دامنه اختلال و  $\phi$  فاز آن بوده و اختلال فعالیت مخابراتی را در ناحیه پوشش و در فرکانس  $r_f$  تحت تأثیر قرار می دهد

$$J(t) = A e^{j(\pi f_i t + \phi)} \quad (3)$$

#### ۴-۲ اختلال چند آهنگ

مختلساز چند آهنگ مطابق با (۴) به منظور پوشش وسیع تر پهنهای باند مخابراتی در  $M$  نقطه فرکانسی مختلف ایجاد می گردد [۳۲] و [۳۳]

1. Symbol Duration
2. Anti-Jamming

به صورت گسترش یافته و شنودگر تحت تأثیر همان نویز مصنوعی ولی به صورت مستقیم و با توان بالا قرار خواهد گرفت. در واقع در گیرنده با فرض پنهانی باندهای سیگنال ارسالی، کد گسترش دهنده و اختلال به ترتیب برابر  $W_c$ ,  $W_s$  و  $W_j$  و با توجه به ضرب کد و گسترش یافتن سیگنال اختلال به صورت  $J(f) = j(t) \times c(t) \Leftrightarrow J(f) = C(f)$  طبق (۲) پنهانی باند سیگنال اختلال گسترش یافته به طور تقریبی مطابق (۱۰) خواهد بود

$$W_c + W_s + W_j = L W_s + W_j \quad (10)$$

از سوی دیگر با توجه به اینکه گیرنده مطابق با سیگنال ارسالی فرستنده طراحی شده است، بخشی از نویز مصنوعی با پنهانی باندی معادل پنهانی باند سیگنال ارسالی دریافت می‌شود ( $W_s = W_j$ ) و بعد از حذف گسترش، پنهانی باند  $J(t)$  برابر با  $(1+L)W_s$  خواهد بود. به عبارت دیگر، نویز مصنوعی ( $J$ ) توسط کد گسترش دهنده  $C(t)$ ، تقریباً به میزان  $L$  برابر گستردۀ می‌شود [۲۹]. همچنین با فرض اینکه اختلال نویز مصنوعی گسترش در توان  $P_j$  و پنهانی باند  $W_s$  باشد، طیف اختلال قبل و بعد از حذف گسترش به ترتیب برابر (۱۱) و (۱۲) خواهد بود

$$S_j(f) = \frac{P_j}{W_s} \quad (11)$$

$$f_c - \frac{1}{2}W_s \leq f \leq f_c + \frac{1}{2}W_s$$

$$S_j(f) = \frac{P_j}{(L+1)W_s} \quad (12)$$

$$f_c - \frac{1}{2}(L+1)W_s \leq f \leq f_c + \frac{1}{2}(L+1)W_s$$

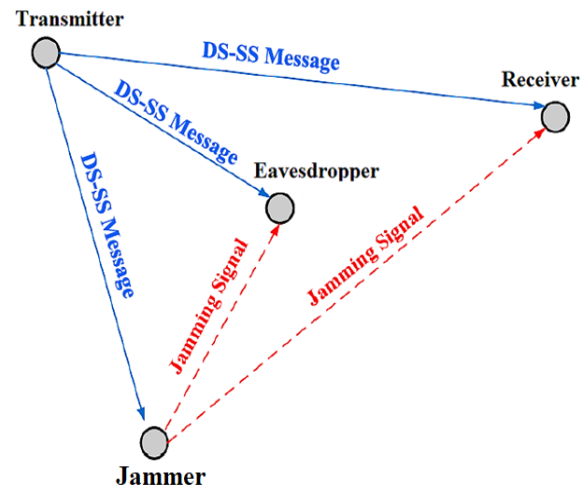
بنابراین عملیات حذف گسترش DS-SS که در گیرنده انجام می‌شود، سطح طیف توان نویز مصنوعی را به اندازه  $1/(L+1)$  کاهش داده و مشکلی برای آشکارسازی داده ارسالی در گیرنده ایجاد نخواهد شد. همچنین با حضور اختلال، احتمال خطای گیرنده کانال AWGN در (۹) به صورت (۱۳) بازنویسی می‌گردد [۳]

$$P_b = Q\left(\sqrt{\frac{2E_b}{N + S_J(f)}}\right) \quad (13)$$

از سوی دیگر مطابق (۱۴) نسبت اختلال (جرم)  $(JSR)$  به سیگنال (JSR) با افزایش ضریب گسترش طیف کاهش می‌یابد و علی‌رغم اثرگذاری روی شنودگر، تأثیر کمتری در گیرنده خواهد داشت

$$JSR = \frac{\frac{E_b}{P_j}}{\frac{(L+1)W_s}{E_b}} = \frac{1}{L+1} \quad (14)$$

اگر اختلال را از نوع باند وسیع در نظر بگیریم و با فرض درنظرگرفتن پنهانی باند اختلال برابر با  $LW_s = W_j$ ، پنهانی باند  $J(t)$  پس از حذف گسترش بر اساس (۱۰) برابر  $2LW_s$  می‌شود که نشان می‌دهد پنهانی باند طیف دو برابر نسبت به حالت باند باریک گستردۀ خواهد شد. از این رو پس از عملیات حذف گسترش، نسبت اختلال به سیگنال  $JSR$  به



شکل ۲: مدل سیستم مخابرات پنهان پیشنهادی.

## ۵- مدل پیشنهادی مخابره پنهان ترکیبی

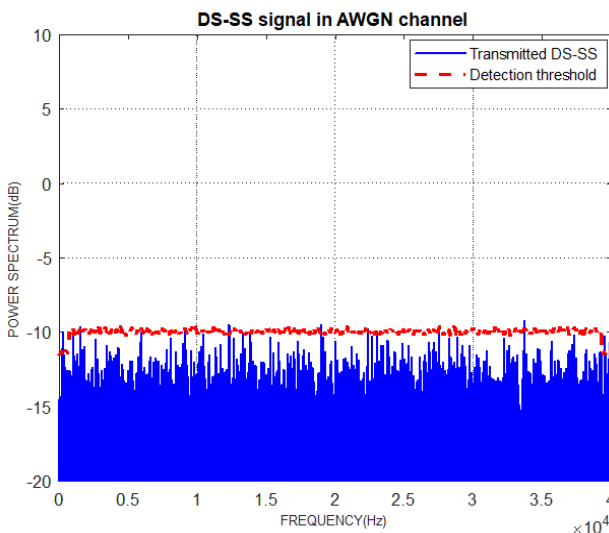
روش مخابره پنهان ترکیبی را مطابق با شکل ۲ پیشنهاد می‌دهیم. طبق شکل فرستنده در حضور شنودگر، پیامی را برای گیرنده ارسال می‌کند. برای ایجاد شرایط احتمال آشکارسازی پایین (LPD) و احتمال شنود پایین (LPI) و پنهان نمودن مخابره از دید شنودگر، فرستنده از روش طیف گستردۀ دنباله مستقیم (DS-SS) برای ارسال سیگنال استفاده می‌کند. همچنین به طور همزمان و به منظور بالا بردن سطح نویز در گیرنده شنودگر و کمک به مخابره پنهان، یک منع اختلال مجزای خودی به طور پیوسته و بدون نیاز به قطع و وصل، نویز مصنوعی را روی کانال ارسال می‌کند. اگرچه نویز مصنوعی می‌تواند مستقیماً توسط فرستنده نیز ارسال گردد، برای عدم شناسایی مکان و اطمینان بیشتر از LPD بودن ارتباط، استفاده از منع مجزا برای ارسال اختلال پیشنهاد شده است. در این صورت ارتباط بین فرستنده و گیرنده نیز می‌تواند به طور پیوسته با استفاده از روش DS-SS و در نتیجه بدون اطلاع شنودگر و منع اختلال برقرار شود. بنابراین سیگنال دریافتی در گیرنده که باید حذف گسترش روی آن با استفاده از ضرب مجدد در کد گسترش طیف  $C(t)$  انجام شود، به صورت (۸) است که  $U(t)$  و  $J(t)$  به ترتیب سیگنال ارسالی فرستنده و نویز مصنوعی و  $n(t)$  نویز گوسی محیط با متوسط صفر و چگالی طیف توان  $S_n(f) = N/2$  خواهد بود

$$R(t) = U(t) + J(t) + n(t) \quad (8)$$

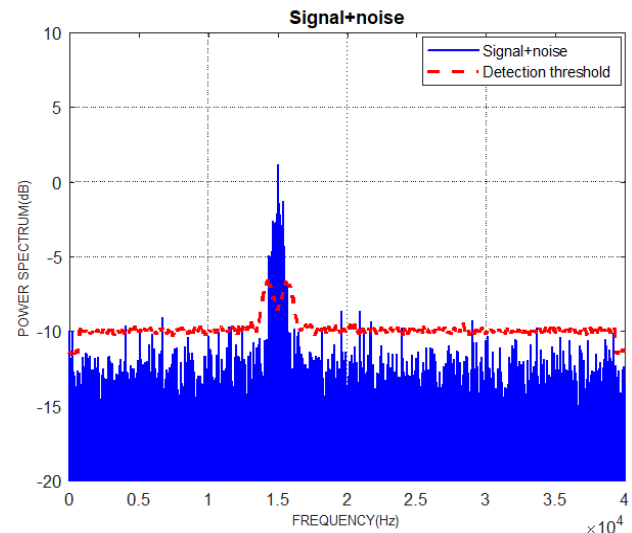
در این صورت می‌توان نشان داد که با فرض برقراری همزمانی و انجام صحیح گسترش و حذف گسترش طیف با تقریب خوبی، احتمال خطای گیرنده بهینه در کانال AWGN، صرف نظر از اینکه از DS-SS استفاده کنیم یا خیر، بدون تغییر می‌ماند. مثلاً [۳۰] نشان داده در کانال AWGN برای سیستم طیف گستردۀ DS با مدولاسیون BPSK، احتمال خطای تقريباً خوبی برابر احتمال خطای گیرنده PSK باينری متداول (غیر طیف گستردۀ) و به صورت (۹) خواهد بود که در آن  $E_b$  انرژی هر بیت (پالس) سیگنال دریافتی و  $N$  چگالی طیف نویز گیرنده است

$$P_b = Q\left(\sqrt{\frac{2E_b}{N}}\right) \quad (9)$$

بنابراین در روش پیشنهادی با توجه به اینکه گیرنده و شنودگر، علاوه بر سیگنال فرستنده و نویز کانال، نویز مصنوعی را نیز به صورت سیگنال اختلال دریافت می‌کنند، احتمال خطای گیرنده تحت تأثیر نویز مصنوعی



شکل ۴: عدم شناسایی ارتباط توسط شنودگر (طیف گستردگ).



شکل ۳: شناسایی ارتباط توسط شنودگر (ارسال عادی).

همان طور که ذکر گردید در شبیه‌سازی‌ها از کد بارکر با طول  $13$ ، بهره پردازش  $11$  dB و نسبت  $JSR = 5$  dB استفاده گردیده است و مدولاسیون مورد استفاده برای سیگنال ارسالی را نیز QPSK در نظر می‌گیریم. در این صورت با توجه به ارسال اختلال روی کanal ارتباطی، سطح آستانه آشکارساز شنودگر باید افزایش پیدا کند؛ در غیر این صورت شنودگر درگیر نرخ بالای احتمال هشدار کاذب ( $P_{Fa}$ ) ناشی از اختلال می‌شود و هرچه توان اختلال بیشتر باشد منجر به افزایش بیشتر آستانه آشکارسازی شنودگر خواهد شد و در نتیجه، سیگنال فرستنده با حاشیه اطمینان بیشتری ارسال می‌گردد. بر این اساس شکل  $6$  متوسط توان دریافتی از محیط توسط شنودگر را در حضور سیگنال‌های اختلال مختلف و بهارزی  $JSR = 5$  dB نشان می‌دهد.

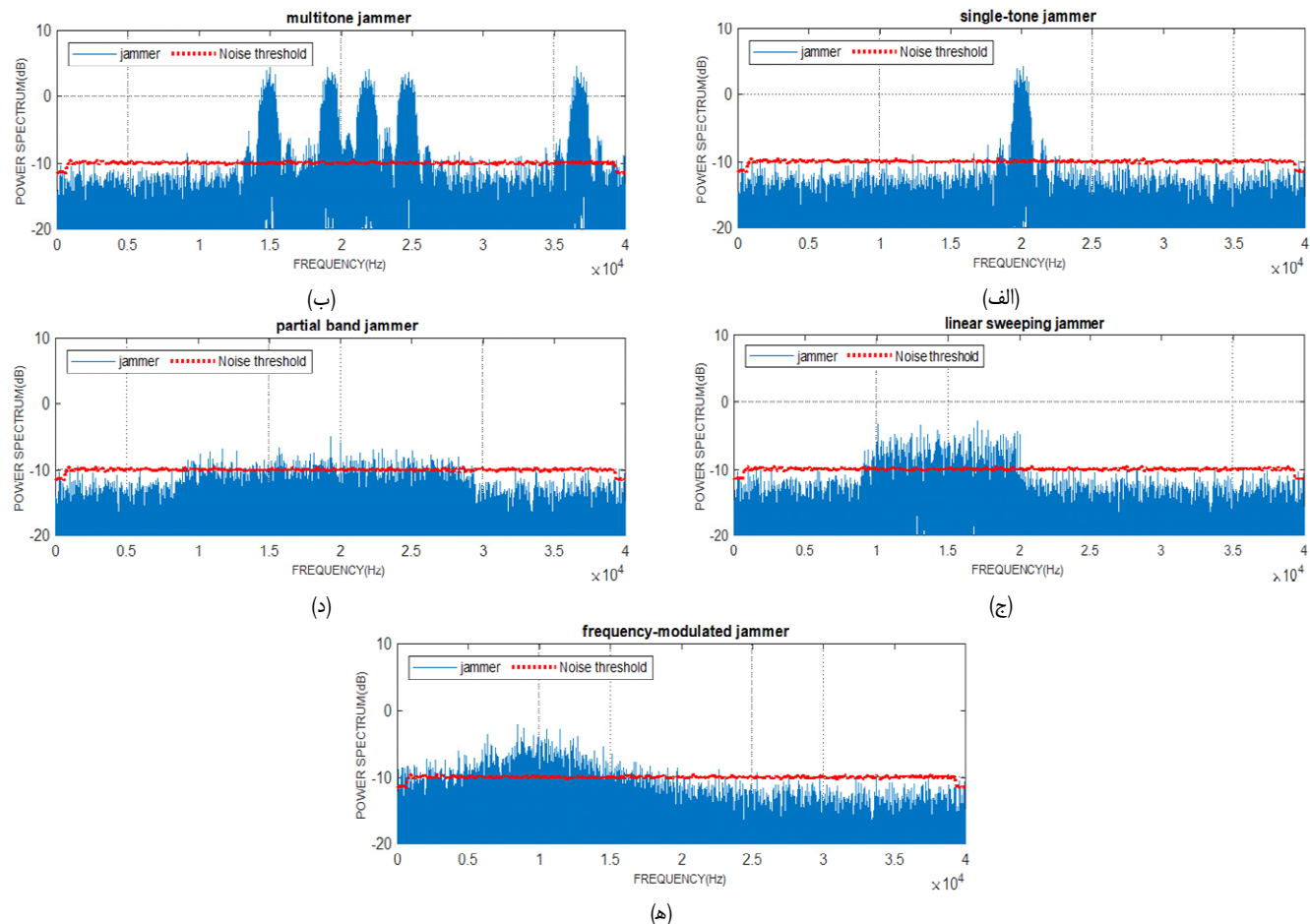
مطابق شکل با توجه به اینکه در روش پیشنهادی، ارسال سیگنال را در حالت طیف گستردگ در نظر گرفتیم و با توجه به ایجاد حاشیه اطمینان برای سیگنال ارسالی توسط نویز مصنوعی کمکی، می‌توان از اختلال‌های با سطح توان متوسط پایین‌تری نسبت به [۲۶]، [۲۷] و [۲۸] استفاده نمود. در نتیجه، این پایین‌بودن سطح اختلال، ارسال دائم آن را با هزینه و مصرف توان پایین ممکن می‌کند و باعث افزایش ظرفیت مخابره پنهان به صورت LPD خواهد شد. همچنین در مقایسه با [۸] که از ترکیب نویز مصنوعی با ارسال سیگنال به صورت رگباری استفاده کرده است، مشاهده می‌شود اولاً روش پیشنهادی، امکان ارسال نویز مصنوعی با سطح توان پایین را فراهم نموده که پاسخی به یکی از چالش‌های مهم مخابرات پنهان است و ثانیاً در روش ارائه شده [۸]، ارسال پیوسته داده امکان پذیر نبوده و داده با تأخیر زمانی و ظرفیت پایین‌تری ارسال می‌شود که روش پیشنهادی، این دو مشکل را نیز مرتفع نموده است. سطح آستانه آشکارساز شنودگر و حاشیه اطمینان ایجاد شده توسط نویز مصنوعی برای هر کدام از تکنیک‌های اختلال، مطرح و بهارزی نسبت‌های مختلف  $JSR$  در جدول  $2$  محاسبه و ارائه شده است. مطابق نتایج عددی جدول مشاهده می‌شود سطح آستانه شنودگر و در نتیجه حاشیه اطمینان مخابره پنهان با کاهش نسبت اختلال به سیگنال کاهش می‌یابد. به عبارت دیگر هرچه نسبت نویز مصنوعی به سیگنال بالاتر باشد، شنودگر در تشخیص ارتباط مشکل بیشتری خواهد داشت و کیفیت مخابره پنهان افزایش می‌یابد. همچنین با توجه به گسترش طیف سیگنال ارسالی در هزینه و مصرف توان نویز مصنوعی صرفه‌جویی شده و می‌توان با ارسال دائم نویز مصنوعی با توان نویز پایین، ظرفیت مخابره پنهان را نیز افزایش داد.

نسبت  $(2L)/1$  کاهش خواهد یافت و می‌توان انتظار داشت که اولاً با کاهش  $JSR$  ضمن مختل شدن فرایند شنود توسط شنودگر، به احتمال خطای بیت بهتری برای ارتباط فرستنده و گیرنده نسبت به حال غیرطیف گستردگ دست یابیم. ثانیاً هزینه مصرف توان اختلال خودی که از چالش‌های اصلی است نیز کاهش چشم‌گیری خواهد یافت؛ در نتیجه امکان اختلال پیوسته در کل بازه زمانی به راحتی فراهم شده و افزایش ظرفیت ارسال اطلاعات را به دنبال خواهد داشت.

## ۶- ارزیابی روش پیشنهادی

به منظور ارزیابی، شبیه‌سازی‌ها را بر اساس روش طیف گستردگ DS با استفاده از کد طول محدود بارکر  $L = 13$  [۳۶] با طول  $13$  dB و در نتیجه بهره پردازش  $11$  dB انجام می‌دهیم. همچنین مدولاسیون را QPSK، کanal AWGN و شنودگر را با آشکارساز از نوع CA-CFAR [۳۷] در انتقال را در نظر گرفتیم و شنودگر را با آشکارساز از نوع CA-CFAR نظر می‌گیریم. این آشکارساز در سیستم‌های عملی رایج بوده و به صورت خودکار سطح آستانه خود را برای داشتن احتمال هشدار کاذب ثابت، تعیین می‌دهد. سطح آستانه این آشکارساز بر اساس میانگین‌گیری و تخمین توان متوسط نویز محیط تعیین می‌شود. به منظور ارزیابی عملکرد شنودگر در شناسایی و تشخیص ارتباط بین فرستنده و گیرنده، آشکارسازی را در حوزه فرکانس بررسی می‌کنیم. ابتدا با فرض اینکه فرستنده، سیگنالی با فرکانس حامل  $15$  KHz و مدولاسیون QPSK روی کanal ارسال می‌کند، مطابق شکل  $3$  مشاهده می‌شود در حالت عادی و بدون استفاده از روش طیف گستردگ، سیگنال ارسالی توسط شنودگر با استفاده از آشکارساز CA-CFAR قابل شناسایی خواهد بود. اکنون با فرض اینکه شنودگر این سطح آستانه را برای آشکارسازی و تفکیک سیگنال از نویز در حوزه فرکانس ثابت کرده باشد، ارتباط را در حالت پیشنهادی که سیگنال AWGN فرستنده به صورت طیف گستردگ دنباله مستقیم DS روی کanal ارسال می‌شود، بررسی می‌کنیم. همان طور که در شکل  $4$  دیده می‌شود در این حالت، عملاً شناسایی سیگنال ارسالی توسط شنودگر غیرممکن است. همچنین شکل  $5$  طیف فرکانسی سیگنال گستردگ شده فرستنده را با حضور سیگنال‌های اختلال مختلف و به منظور بررسی اثر افزودن نویز مصنوعی به محیط ارتباط نشان می‌دهد.

1. Cell Averaging Constant False Alarm Rate
2. False Alarm Probability



شکل ۵: چگالی طیف توان سیگنال ارسالی در حضور انواع اختلال  $JSR = 5\text{ dB}$ ، (الف) اختلال تک‌آهنگ، (ب) اختلال چندآهنگ، (ج) اختلال جاروب خطی، (د) اختلال نویز باند جزئی و (ه) اختلال مدولاسیون فرکانسی.

جدول ۲: سطح آستانه شنودگر و حاشیه اطمینان مخابره پنهان.

JSR	۱۰ dB	۵ dB	۰ dB	-۵ dB				
نوع اختلال	سطح آستانه شنودگر	حاشیه اطمینان ارسال						
تک‌آهنگ	۱۶/۱ dB	۲۵/۱ dB	۴ dB	۱۵ dB	-۴/۱ dB	۶/۹ dB	-۸/۴ dB	۲/۶ dB
چندآهنگ	۱۷/۵ dB	۲۸/۵ dB	۴/۱ dB	۱۵/۱ dB	-۳/۵ dB	۷/۵ dB	-۸/۴ dB	۲/۶ dB
جاروب خطی	۳/۸ dB	۱۴/۸ dB	-۳/۱ dB	۷/۹ dB	-۸/۸ dB	۲/۲ dB	-۹/۲ dB	۱/۸ dB
نویزی باند جزئی	۰/۵ dB	۱۱/۵ dB	-۵ dB	۶ dB	-۹/۴ dB	۱/۶ dB	-۹/۲ dB	۱/۸ dB
مدولاسیون فرکانسی	۶/۸ dB	۱۷/۸ dB	-۲ dB	۹ dB	-۷/۷ dB	۲/۳ dB	-۹/۱ dB	۱/۹ dB

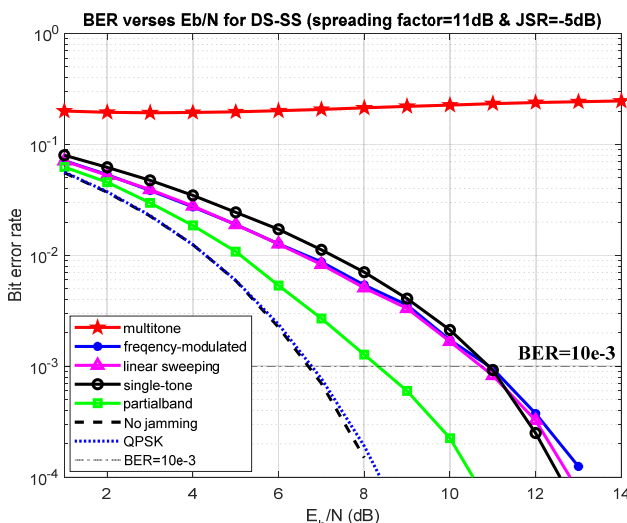
مخابره با احتمال خطای قابل قبول را نیز از فرستنده و گیرنده خواهد گرفت. البته در فعالیت‌های آتی می‌توان تاثیر انواع مختلف کد طیف گستردۀ و طول‌های (بهره پردازش) مختلف کد را نیز بر کیفیت و ظرفیت مخابره پنهان ترکیبی با استفاده از روش طیف گستردۀ و اختلال کمک‌کننده بهصورت تحلیلی، شبیه‌سازی و عددی بررسی نمود. همچنین تحلیل اثر نسبت  $JSR$  بر کیفیت شنود و مخابره و هزینه توان تحمیلی آن بر شنودگر نیز قابل بررسی خواهد بود.

## ۷- جمع‌بندی

در این مقاله بهمنظور بهبود کیفیت و ظرفیت مخابرات پنهان، استفاده توان از تکنیک طیف گستردۀ DS-SS به همراه نویز مصنوعی را پیشنهاد دادیم. پیش از این استفاده از نویز مصنوعی در مخابرات پنهان و استفاده از طیف گستردۀ در مقابل اختلال غیرخودی در مخابرات تجاری و نظامی

از سوی دیگر، اگرچه شکل ۶ و جدول ۲ امکان مخابره پنهان LPD با حاشیه اطمینان کافی در شنودگر را نشان می‌دهند، باید موفقیت مخابره را از دیدگاه فرستنده و گیرنده نیز مورد توجه قرار دهیم. شکل ۷ نمودار نرخ خطای بیت (BER) را نسبت به انرژی بیت بر نویز محیط ( $E_b/N_0$ ) در حضور انواع نویز مصنوعی نشان می‌دهد. در این شکل نیز از مدولاسیون QPSK، کد بارکر با طول  $13$  و در نتیجه بهره پردازش  $11\text{ dB}$  و نسبت  $JSR = -5\text{ dB}$  بهمنظور داشتن کمترین هزینه ایجاد اختلال و بالا بردن ظرفیت مخابره پنهان برای فرستنده استفاده شده است. مطابق شکل مشاهده می‌شود با فرض احتمال خطای مطلوب بین فرستنده و گیرنده معادل  $10^{-3}$ ، غیر از اختلال چندآهنگ، سایر اختلال‌ها امکان برقراری مخابره موفق را برای  $E_b/N_0 > 8/3\text{ dB}$  در اختیار قرار می‌دهند.

به عبارت دیگر و بر اساس جدول ۲، اختلال چندآهنگ حاشیه اطمینان خوبی را برای مخابره پنهان از دید شنودگر ایجاد می‌کند؛ ولی امکان



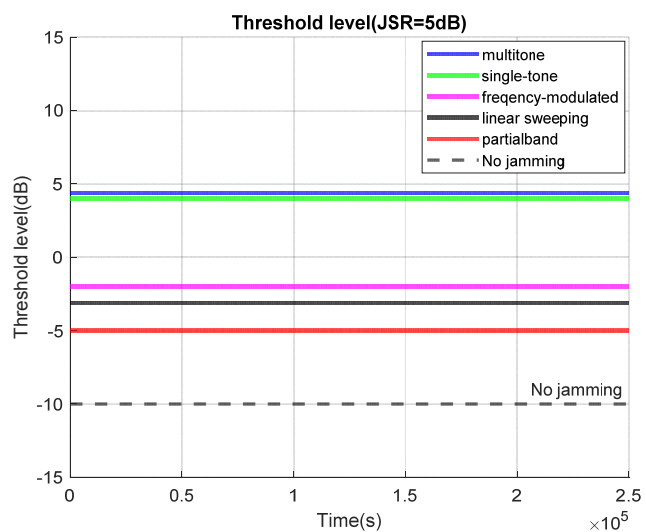
شکل ۷: منحنی BER بر حسب  $E_b/N$  به ازای اختلال‌های مختلف ( $JSR = -5\text{ dB}$ ).

اختلال باند جزئی، ضمن ایجاد حاشیه اطمینان  $1/8 \text{ dB}$  برای فربیض شنودگر، بهترین کیفیت مخابرات را بین فرستنده و گیرنده فراهم نموده و برای  $E_b/N > 8.3 \text{ dB}$  احتمال خطای مناسب  $10^{-3}$  را در شرایط شبیه‌سازی نتیجه خواهد داد. از سوی دیگر اختلال تک‌آهنگ با ایجاد  $E_b/N > 10.9 \text{ dB}$  حاشیه اطمینان، همین احتمال خطای را برای  $E_b/N > 10.9 \text{ dB}$  به این حد رسانید و گیرنده ایجاد خواهد کرد. سایر انواع اختلال غیر از اختلال تک‌آهنگ نیز با حاشیه‌های اطمینان مطابق جدول ۳ قابل استفاده هستند. به منظور تکمیل پژوهش انجام شده در فعالیت‌های آتی می‌توان موارد زیر را برای روش پیشنهادی مورد بررسی قرار داد:

- (الف) مقایسه هزینه و مصرف توان استفاده از انواع مختلف اختلال در ازای کیفیت و ظرفیت مخابره پنهان برقرارشده و تعیین نقطه مناسب مصالحه
- (ب) بررسی اثر انواع مختلف کدهای خطی و غیرخطی طیف گسترد و با طول‌های مختلف بر کیفیت مخابره پنهان حاصل

## مراجع

- [1] S. Vaudenay, *A Classical Introduction to Cryptography: Applications for Communications Security*, Springer Science & Business Media, 2006.
- [2] F. Y. Shih, *Digital Watermarking and Steganography: Fundamentals and Techniques*, CRC Press, 2017.
- [3] R. L. Peterson, D. E. Borth, and R. E. Ziemer, *An Introduction to Spread-Spectrum Communications*, Prentice-Hall Inc, 1995.
- [4] M. K. Simon, et al., *Spread Spectrum Communications Handbook*, vol. 2, Citeseer, 1994.
- [5] A. S. Biswas, et al., "Orthogonal coded spread spectrum digital beamforming-based 5G receiver," *Arabian J. for Science and Engineering*, vol. 48, pp. 5757-5769, 2023.
- [6] H. Jung, et al., "Design of anti-jamming waveforms for time-hopping spread spectrum systems in tone jamming environments," *IEEE Trans. on Vehicular Technology*, vol. 69, no. 1, pp. 728-737, Jan. 2019.
- [7] C. U. Baek, J. W. Jung, and D. W. Do, "Study on the structure of an efficient receiver for covert underwater communication using direct sequence spread spectrum," *Applied Sciences*, vol. 8, no. 1, Article ID: 58, 2018.
- [8] W. He, et al., "Optimal transmission probabilities of information and artificial noise in covert communications," *IEEE Communications Letters*, vol. 26, no. 12, pp. 2865-2869, Dec. 2022.
- [9] G. J. Simmons, "The prisoners' problem and the subliminal channel," in D. Chaum (ed.), *Advances in Cryptology, Proc. of Crypto*, pp. 51-52, New York: Plenum Press, 1984.
- [10] W. Mazurczyk and L. Caviglione, "Steganography in modern smartphones and mitigation techniques," *IEEE Communications Surveys & Tutorials*, vol. 17, no. 1, pp. 334-357, First Quarter 2014.



شکل ۸: میانگین توان دریافتی شنودگر.

جدول ۳: نتایج روش پیشنهادی ( $JSR = -5\text{ dB}$ ).

نوع اختلال	سطح آستانه شنودگر ارسال	حاشیه اطمینان	$E_b/N @ (BER < 10^{-3})$
تک‌آهنگ	-8/4 dB	2.6 dB	10.9 dB
چندآهنگ	-8/4 dB	2.6 dB	غیرقابل قبول
جاروب خطی	-9/2 dB	1.8 dB	10.7 dB
باند جزئی	-9/2 dB	1.8 dB	8/3 dB
مدولاسیون فرکانسی	-9/1 dB	1.9 dB	10.91 dB

راج بوده‌اند؛ اما ایده استفاده از ترکیب نویز مصنوعی با طیف گسترد و هر دو توسط فرستنده خودی در این مقاله پیشنهاد و موفقیت‌آمیزبودن ایده به کمک شبیه‌سازی و تحلیل عددی نتایج، بررسی شده و حالات مناسب آن تعیین گردید.

روش طیف گسترد دنباله مستقیم با گسترش طیف سیگنال فرستنده و مخفی نمودن آن در زیر سطح نویز محیط، ارتباط را در برای شنودگر مقاوم می‌کند. همچنین نویز مصنوعی حتی با سطح توان و هزینه پایین، حاشیه اطمینان خوبی برای عدم شناسایی سیگنال توسعه شنودگر ایجاد می‌کند؛ ضمن اینکه امکان ایجاد اختلال در بازه وسیع زمانی یا فرکانسی بدون نیاز به هم‌زمانی قطع و وصل با فرستنده فراهم خواهد شد. با توجه به آنکه در طرح پیشنهادی از اختلال کم‌توان پیوسته به عنوان نویز مصنوعی خودی استفاده شد، هزینه یافتن کد برای شنودگر نیز بسیار بیشتر از حالت طیف گسترد خواهد بود. به عبارت دیگر حتی در صورت تشخیص وجود نویز مصنوعی، شنودگر باید در شرایط کانال با اختلال ناشناخته که گیرنده را اشباع نموده است، فضای کدهای محتمل و محاسبات همبستگی آنها را دنبال کند که پیچیدگی محاسباتی زیادی را به او تحمیل خواهد کرد. همچنین در کارهای آتی می‌توان اثر استفاده از انواع کدهای خطی (کدهای گولد<sup>۱</sup>، کازامی<sup>۲</sup>، والش<sup>۳</sup> و ...) و کدهای غیرخطی را برای افزایش بیش از پیش پیچیدگی برای شنودگر بررسی نمود.

نهایتاً نتایج شبیه‌سازی و تحلیل عددی مطابق جداول ۲ و ۳ نشان

می‌دهد که در شرایط  $JSR = -5\text{ dB}$ ، استفاده از نویز مصنوعی بر اساس

1. Gold Codes
2. Kasami Codes
3. Walsh Codes

- [27] S. N. Kirillov and A. A. Lisnichuk, "The procedure of multi-criteria synthesis of DSSS radio signals to adapt prospective wireless communication systems to the action of narrowband interference," in *Proc. IEEE Moscow Workshop on Electronic and Networking Technologies, MWENT'20*, 5 pp., Moscow, Russia, 11-13 Mar. 2020.
- [28] F. G. A. K. Bawahab, *et al.*, "Performance evaluation and mathematical analysis of direct sequence and frequency hopping spread spectrum systems under wideband interference," *International J. of Advances in Intelligent Informatics*, vol. 4, no. 3, pp. 180-191, Nov. 2018.
- [29] R. C. Dixon, *Spread Spectrum Systems: with Commercial Applications*, John Wiley, 1994.
- [30] B. P. Lathi, *Modern Digital and Analog Communication Systems*, Oxford University Press Inc, 1990.
- [31] K. Grover, A. Lim, and Q. Yang, "Jamming and anti-jamming techniques in wireless networks: a survey," *International J. of Ad Hoc and Ubiquitous Computing*, vol. 17, no. 4, pp. 197-215, Dec. 2014.
- [32] Y. Wang, *et al.*, "Complicated interference identification via machine learning methods," in *Proc. 4th IEEE Int. Conf. on Electronic Information and Communication Technology, ICEICT'21*, pp. 400-405, Xi'an, China, 15-20 Aug. 2021.
- [33] L. Milstein, S. Davidovici, and D. Schilling, "The effect of multiple-tone interfering signals on a direct sequence spread spectrum communication system," *IEEE Trans. on Communications*, vol. 30, no. 3, pp. 436 - 446, Mar. 1982.
- [34] J. J. Liang, L. D. Jeng, and C. H. Wang, "A new partial-band noise jamming model for frequency-hopped MFSK systems," in *Proc. 2nd IEEE Int. Symp. on Wireless Communication Systems*, pp. 200-204, Siena, Italy, 5-7 Sept. 2005.
- [35] J. Granlund, *Interference in Frequency-Modulation Reception*, 1949.
- [36] J. Mikulka and S. Hanus, "CCK and barker coding implementation in IEEE 802.11b Standard," in *Proc. 17th IEEE Int. Conf. on Radioelektronika*, 4 pp., Brno, Czech Republic, 24-27 Apr. 2007.
- [37] H. Finn and R. Johnson, "Adaptive detection mode with threshold control as a function of spatially sampled clutter-level estimates," *RCA Rev.*, vol. 29, no. 4, pp. 414-464, 1968.

**مرتضی شفیعی** استادیار مجتمع دانشگاهی برق و کامپیوتر، دانشگاه صنعتی مالک اشتر (MUT)، تهران، ایران است. او دکترای مهندسی برق را در سال ۱۳۹۷ از دانشکده مهندسی برق، دانشگاه علم و صنعت ایران (IUST)، تهران، ایران دریافت کرد. علایق تحقیقاتی او مخابرات طیف گستردۀ، مخابرات ماهواره‌ای، شبکه‌های حسگر بی‌سیم (WSNs)، پردازش ابری، سنجش طیف و رادیوی شناختی (CR)، پیاده سازی رادیوی نرم‌افزاری، مخابرات پنهان (CC) و شبکه‌های مخابرات زیرآب بوده است.

**ایمان کاظمی** تحصیلات خود را در مقاطعه کارشناسی و کارشناسی ارشد مهندسی برق به ترتیب در سال‌های ۱۳۸۹ و ۱۳۹۲ از دانشگاه آزاد اسلامی یادگار امام حمینی (ره) به پایان رسانده است. او هم‌اکنون دانشجوی دکتری دانشگاه صنعتی مالک اشتر در رشته مهندسی برق مخابرات سیستم می‌باشد. زمینه‌های تحقیقاتی مورد علاقه او عبارتند از: مخابرات پنهان (CC)، مخابرات ماهواره‌ای، پردازش سیگنال، پردازش تصویر دیجیتال، پردازش تصاویر ابرتفکیکی و فراتفکیک پذیری (Super/Hyper Resolution) (S/H) می‌باشد.

- [11] S. Lee, R. J. Baxley, M. A. Weitnauer and B. Walkenhorst, "Achieving undetectable communication," *IEEE J. of Selected Topics in Signal Processing*, vol. 7, no. 9, pp. 1195-1205, Oct. 2015.
- [12] P. N. Safier, I. S. Moskowitz, and P. Cotae, "On the baseband communication performance of physical layer steganography," in *Proc. 45th IEEE Annual Conf. on Information Sciences and Systems*, 6 pp., Baltimore, MD, USA, 23-25 Mar. 2011.
- [13] B. A. Bash, D. Goeckel, and D. Towsley, "Limits of reliable communication with low probability of detection on AWGN channels," *IEEE J. on Selected Areas in Communications*, vol. 31, no. 9, pp. 1921-1930, Sept. 2013.
- [14] D. Goeckel, *et al.*, "Artificial noise generation from cooperative relays for everlasting secrecy in two-hop wireless networks," *IEEE J. on Selected Areas in Communications*, vol. 29, no. 10, pp. 2067-2076, Dec. 2011.
- [15] B. He, *et al.*, "On covert communication with noise uncertainty," *IEEE Communications Letters*, vol. 21, no. 4, pp. 941-944, Apr. 2017.
- [16] H. Q. Ta and S. W. Kim, "Covert communication under channel uncertainty and noise uncertainty," in *Proc. IEEE Int. Conf. on Communications, ICC'19*, 6 pp., Shanghai, China, 20-24 May 2019.
- [17] S. Sodagari, "Covert communications against an adversary with low-SNR sensing capability in nakagami fading," *IEEE Sensors Letters*, vol. 4, no. 5, pp. 2475-1472, May. 2020.
- [18] K. Li, P. A. Kelly, and D. Goeckel, "Optimal power adaptation in covert communication with an uninformed jammer," *IEEE Trans. on Wireless Communications*, vol. 19, no. 5, pp. 3463-3473, May 2020.
- [19] T. X. Zheng, *et al.*, "Wireless covert communications aided by distributed cooperative jamming over slow fading channels," *IEEE Trans. on Wireless Communications*, vol. 20, no. 11, pp. 7026-7039, Nov. 2021.
- [20] K. W. Huang, H. Deng, and H. M. Wang, "Jamming aided covert communication with multiple receivers," *IEEE Trans. on Wireless Communications*, vol. 20, no. 7, pp. 4480-4494, Jul. 2021.
- [21] T. X. Zheng, H. -M. Wang, D. W. K. Ng, and J. Yuan, "Multi-antenna covert communications in random wireless networks," *IEEE Trans. on Wireless Communications*, vol. 18, no. 3, pp. 1974 - 1987, Mar. 2019.
- [22] X. Chen, *et al.*, "Multi-antenna covert communication via full-duplex jamming against a warden with uncertain locations," *IEEE Trans. on Wireless Communications*, vol. 20, no. 8, pp. 5467-5480, Aug. 2021.
- [23] O. Shmuel, A. Cohen, and O. Gurewitz, "Multi-antenna jamming in covert communication," *IEEE Trans. on Communications*, vol. 69, no. 7, pp. 4644-4658, Jul. 2021.
- [24] W. Xiong, Y. Yao, X. Fu, and S. Li, "Covert communication with cognitive jammer," *IEEE Wireless Communications Letters*, vol. 9, no. 10, pp. 1753-1757, Oct. 2020.
- [25] H. Choi, S. Park, and H. N. Lee, *Covert Anti-Jamming Communication Based on Gaussian Coded Modulation*, Applied Sciences, 2021.
- [26] T. Arbi, B. Geller, and O. P. Pasquero, "Direct-sequence spread spectrum with signal space diversity for high resistance to jamming," in *Proc. IEEE Military Communications Conf., MILCOM'21*, pp. 670-676, San Diego, CA, USA, 29 Nov.-2 Dec. 2021.